

文章编号: 0254-5357(2008)01-0067-02

## 昌化芝麻地鸡血石物相鉴定

李 平, 马伟幸, 王 蓓

(浙江省地质矿产研究所, 浙江 杭州 310007)

**摘要:** 对昌化鸡血石的一个特殊品种——芝麻地鸡血石, 用岩石薄片、X射线衍射、红外光谱、电子探针等手段进行了成分和岩性分析, 认为芝麻地鸡血石应是晶屑凝灰岩经过强脱硅作用后, 生成一水硬铝石形成的。

**关键词:** 鸡血石; 一水硬铝石; 芝麻地

中图分类号: P585 文献标识码: B

## Phase Identification of Zhimadi Chicken-blood Stone

LI Ping, MA Wei-xing, WANG Bei

(Institute of Geology and Mineral Resources of Zhejiang Province, Hangzhou 310007, China)

**Abstract:** Phase identification of Zhimadi chicken-blood stone, a special kind of Changhua chicken-blood stone, was carried out by thin section identification, X-ray diffractometry, infrared spectrometry and electronic microprobe for its mineralogy and lithology. The results indicate that the Zhimadi chicken-blood stone is made of diaspore which is from vitric tuff after strong desilification.

**Key words:** chicken-blood stone; diaspore; Zhimadi

昌化鸡血石号称“世界唯一、中国第一”, 这几年市场价值连续上升。对昌化鸡血石的成分已有多人做过研究, 程敦模等<sup>[1]</sup>测试出昌化鸡血石地子的主要矿物成分为地开石; 牟莉等<sup>[2]</sup>发现部分鸡血石的地子主要矿物成分为明矾石; 廖宗廷等<sup>[3]</sup>研究认为昌化鸡血石地子中黏土的含量明显影响鸡血石档次。昌化鸡血石有一品种因其上密布大量白色或淡黄色小点(图1), 大小如芝麻, 行内称之为“芝麻地鸡血石”。本文对芝麻地鸡血石的成分和岩性作了检测, 并分析了成因。

### 1 岩石薄片分析

岩石薄片观察, 以黏土为主, 某未知矿物次之, 辰砂少量。黏土为微鳞片状集合体(见图2中鳞片状部分)。某未知矿物呈不规则小团块状, 杂乱分布, 单偏光下无色; 部分团块分为内外两层, 形状有近圆形、梭形、条状; 外层为微晶状, 粒度可达0.01 mm, 高正突起, 干涉色达二级蓝且明显不均匀; 团块内层粒度更细(小于0.005 mm), 干涉色不明显, 可能为胶体态; 在岩矿显微镜下难以确定该矿物种类(见图2中团块状部分)。辰砂呈浸染状, 与黏土混杂。

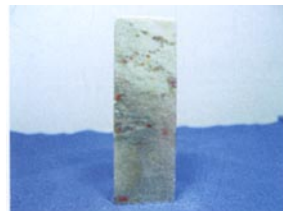


图1 芝麻地鸡血石

Fig. 1 Photo of Zhimadi chicken-blood stone

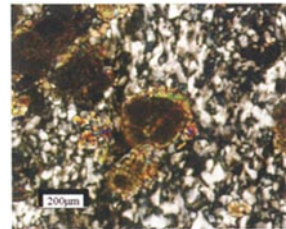


图2 芝麻地鸡血石岩石薄片照相

Fig. 2 Photo of the slice of Zhimadi chicken-blood stone

收稿日期: 2007-07-03; 修订日期: 2007-08-28

作者简介: 李平(1970-), 男, 陕西泾阳县人, 高级工程师, 长期从事岩矿鉴定和珠宝检测工作。E-mail: pkulp@126.com。

## 2 矿物成分分析

为了进一步确定矿物种类,对全样进行X射线衍射分析;对非辰砂部分红外分析;对未知矿物电子探针分析。

### 2.1 X射线衍射分析

全样X射线衍射分析表明(图3),样品中主要矿物成分为地开石、一水硬铝石,含少量辰砂。

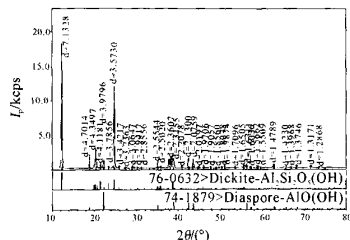


图3 芝麻地鸡血石的XRD分析

Fig. 3 XRD spectrum of Zhimadi chicken-blood stone

- ① X射线衍射分析在浙江大学测试中心完成,仪器型号:D/max-rA(日本理学公司,Rigaku),实验条件:Cu靶,K<sub>α</sub>辐射,扫描速度:4°/min。
- ② 图中第二行“76-0632”表示地开石对应的XRD分析的PDF卡片号,Dickite为地开石英文名,Al<sub>2</sub>Si<sub>4</sub>O<sub>10</sub>(OH)<sub>2</sub>为纯地开石分子式,“76-0632 > Dickite - Al<sub>2</sub>Si<sub>4</sub>O<sub>10</sub>(OH)<sub>2</sub>”文字下方是PDF数据库中地开石的标准衍射图谱。
- ③ 图中第三行是一水硬铝石的PDF数据,说明与第二行相似。

### 2.2 红外光谱分析

对非辰砂部分取样进行红外光谱分析,由图4可见,主要特征谱带3621~1035~540 cm<sup>-1</sup>对应地开石<sup>[4]</sup>。

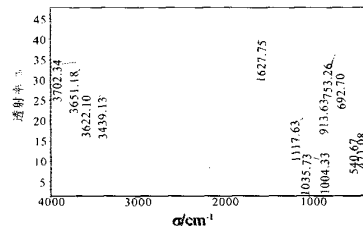


图4 芝麻地鸡血石的地子红外光谱分析

Fig. 4 Infrared spectrum of Zhimadi chicken-blood stone

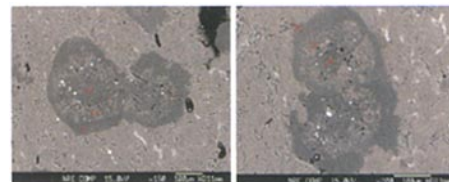
红外光谱分析在浙江省地矿所完成,仪器型号AVATAR 360 FT-IR。

### 2.3 电子探针分析

对样品上的白色或淡黄色小点中的某未知矿物作探针分析,结果见表1,探针点位置见图5a、图5b。由表1可见,外层的两个探针点(点号7、10)的成分中Al<sub>2</sub>O<sub>3</sub>的含量均高

于内层点(点号8、9、11、12),而H<sub>2</sub>O含量外层均低于内层点,这也可表明未知矿物团块外层为晶质,而内层可能为非晶胶体。化学式用软件Minpet 2.02计算,结果与一水硬铝石、一水软铝石分子式比较,氧含量偏高,可能是混杂有非晶态Al<sub>2</sub>O<sub>3</sub>造成的。结合岩石薄片分析,一水硬铝石干涉色最高可达三级,而一水软铝石只有一级,再结合X射线衍射分析结果,确定该矿物为一水硬铝石。

综合X射线衍射、红外光谱及电子探针分析与岩石薄片检测结果,芝麻地鸡血石的岩石定名则为含辰砂含一水硬铝石地开石岩。



(a) 探针点点号7、8、9 (b) 探针点点号10、11、12

图5 未知矿物的背散射电子图像

Fig. 5 Back scattering electron images of the unknown mineral

## 3 分析讨论

昌化鸡血石原岩为酸性晶屑凝灰岩<sup>[5]</sup>,但在芝麻地的岩石薄片中已经看不到石英和长石晶屑(见图2),矿物成分已蚀变为地开石、一水硬铝石、辰砂,表明原岩发生了较彻底蚀变;晶屑中石英经脱硅作用消失,富铝的长石大部分变为地开石而少部分甚至蚀变为一水硬铝石;玻屑、岩屑也蚀变成了地开石;原岩晶屑凝灰岩则变成了含一水硬铝石含辰砂地开石岩。芝麻地鸡血石中出现无硅矿物,证明原岩显然经过了强烈脱硅作用,为程敦模等<sup>[1]</sup>提出的“昌化鸡血石形成过程中经过脱硅作用”提供了证据。

## 4 参考文献

- [1] 程敦模,赵定华,汤志凯,等.浙江昌化鸡血石宝石矿物学及成因的研究[J].科学通报,1985,30(18):1409~1413.
- [2] 牟莉,崔文元.昌化明矾石地鸡血石的矿物学研究[J].岩石矿物学杂志,2004,23(1):69~74.
- [3] 廖宗廷,周征宇,腾英.昌化鸡血石“地”的矿物成分及其对质量的影响[J].同济大学学报:自然科学版,2004,32(7):897~900.
- [4] 彭文世,刘高魁.矿物红外光谱图集[M].北京:科学出版社,1982,409.
- [5] 曾若兰.中国汞矿[M].成都:四川科技出版社,1988:90~95.

表1 某未知矿物的电子探针分析<sup>①</sup>  
Table 1 EPMA analysis of the unknown mineral

点号	矿物成分 w% /										化学式	
	SiO <sub>2</sub>	TiO <sub>2</sub>	Al <sub>2</sub> O <sub>3</sub>	FeO	MnO	MgO	CaO	Na <sub>2</sub> O	K <sub>2</sub> O	P <sub>2</sub> O <sub>5</sub>		
7	0.00	0.07	90.92	-	0.01	-	0.02	0.00	0.01	-	91.04	8.96
8	-	0.02	88.01	-	-	0.00	0.01	0.01	0.43	0.05	88.54	11.46
9	0.13	0.04	90.85	-	-	0.01	0.03	0.00	-	0.01	91.06	8.94
10	0.03	-	92.11	-	-	0.01	0.00	0.02	0.01	0.03	92.21	7.79
11	0.04	0.02	85.90	-	-	-	0.01	0.07	1.46	0.10	87.60	12.40
12	0.02	0.02	88.05	-	0.03	-	0.02	0.06	0.79	0.03	89.03	10.97

① 电子探针分析在东华理工大学核资源与环境教育部重点实验室完成;仪器型号:电子探针 JXA-8100、能谱仪 Inca Energy;实验条件:加速电压 15.0 kV, 电子束斑 1 μm;探针束流 2.00 × 10<sup>-9</sup> nm。“-”表示该项未测出或低于仪器检测限。H<sub>2</sub>O 的含量用 100 - Total 获得,有一定偏差,仅作参考,因此计算出的化学式也仅作参考。